

## INTRODUCCIÓN

La mineralización de la cadena estilohioidea (CE), es un hallazgo muy común en las radiografías panorámicas de rutina odontológica, pero con la utilización de la tomografía computarizada de haz cónico (TCHC), este hallazgo adquiere mayor relevancia al momento de la evaluación, dado la mayor cantidad de características a evaluar y su posible correlación clínica con algunas patologías. El objetivo general de este estudio fue determinar las variaciones morfométricas de la cadena estilohioidea.

## MATERIALES Y MÉTODOS

Se realizó un estudio observacional retrospectivo; la muestra estuvo constituida por 200 tomografías volumétricas utilizando el software Romexis 5.3 de Planmeca®; se realizó una evaluación cuantitativa con los parámetros de longitud, grosor, angulación sagital, angulación trasversal, y una valoración cualitativa donde se incluyó la mineralización, tipo y patrón de la CE. (figura 1 y 2)

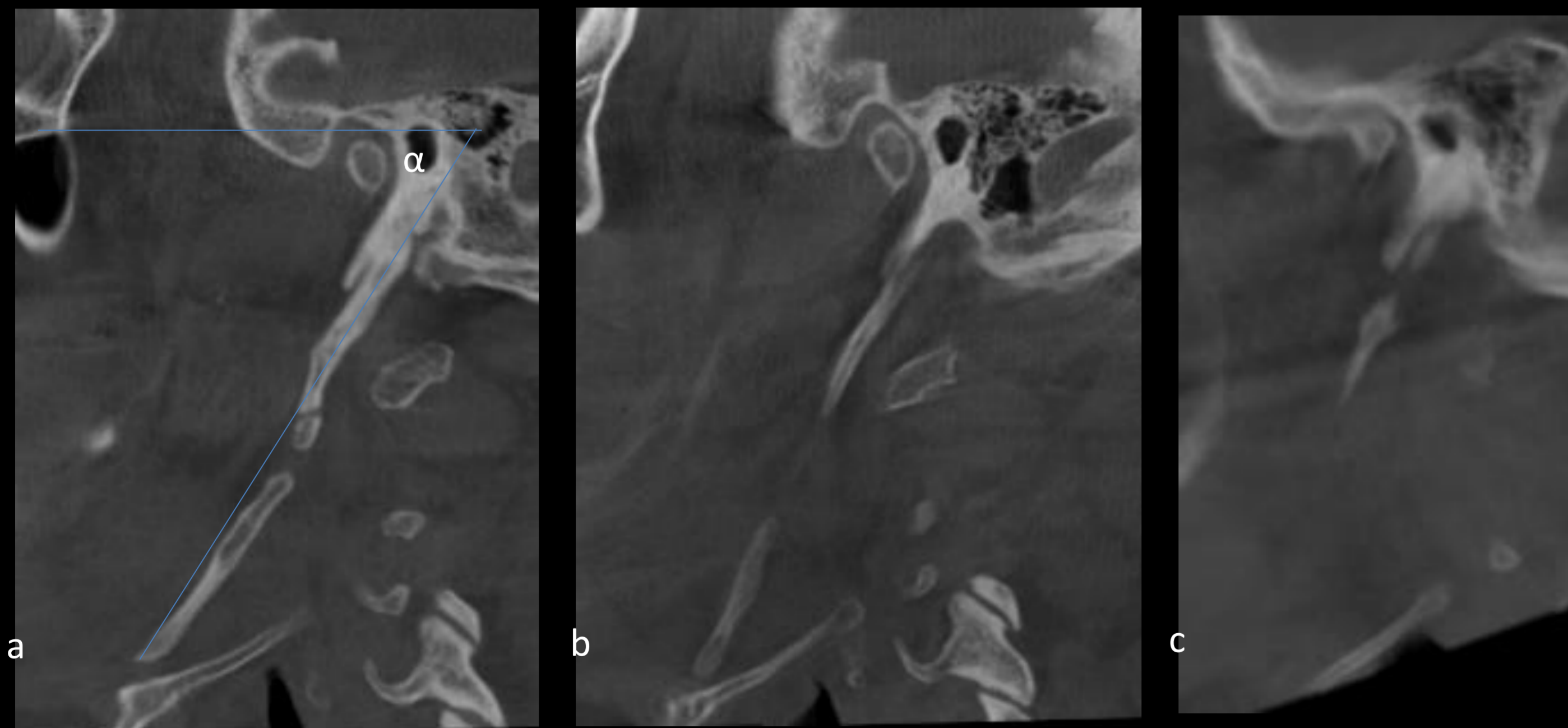


Fig. 1. TVHC, muestra la evaluación cuantitativa de la angulación sagital (a); la valoración cualitativa del tipo y patrón de mineralización: pseudoarticulado (a), segmentado (b) y un patrón nodular (c)

## FUENTES DE INFORMACIÓN

1. Al-Amad, S. H, Al Bayatti, S, Alshamsi, H. A. The effect of styloid process medial angulation on Eagle's syndrome's self-reported symptoms: A preliminary cross-sectional study. Oral surgery, oral medicine, oral pathology and oral radiology 2021; 132(1), 52–56.
2. Kalabalik, F., & Şahin, O. Evaluation of stylohyoid complex in subjects with different types of malocclusions using cone-beam computed tomography: a retrospective study in a Turkish subpopulation. Surgical and radiologic anatomy. 2020; 42(9), 1095–1100.

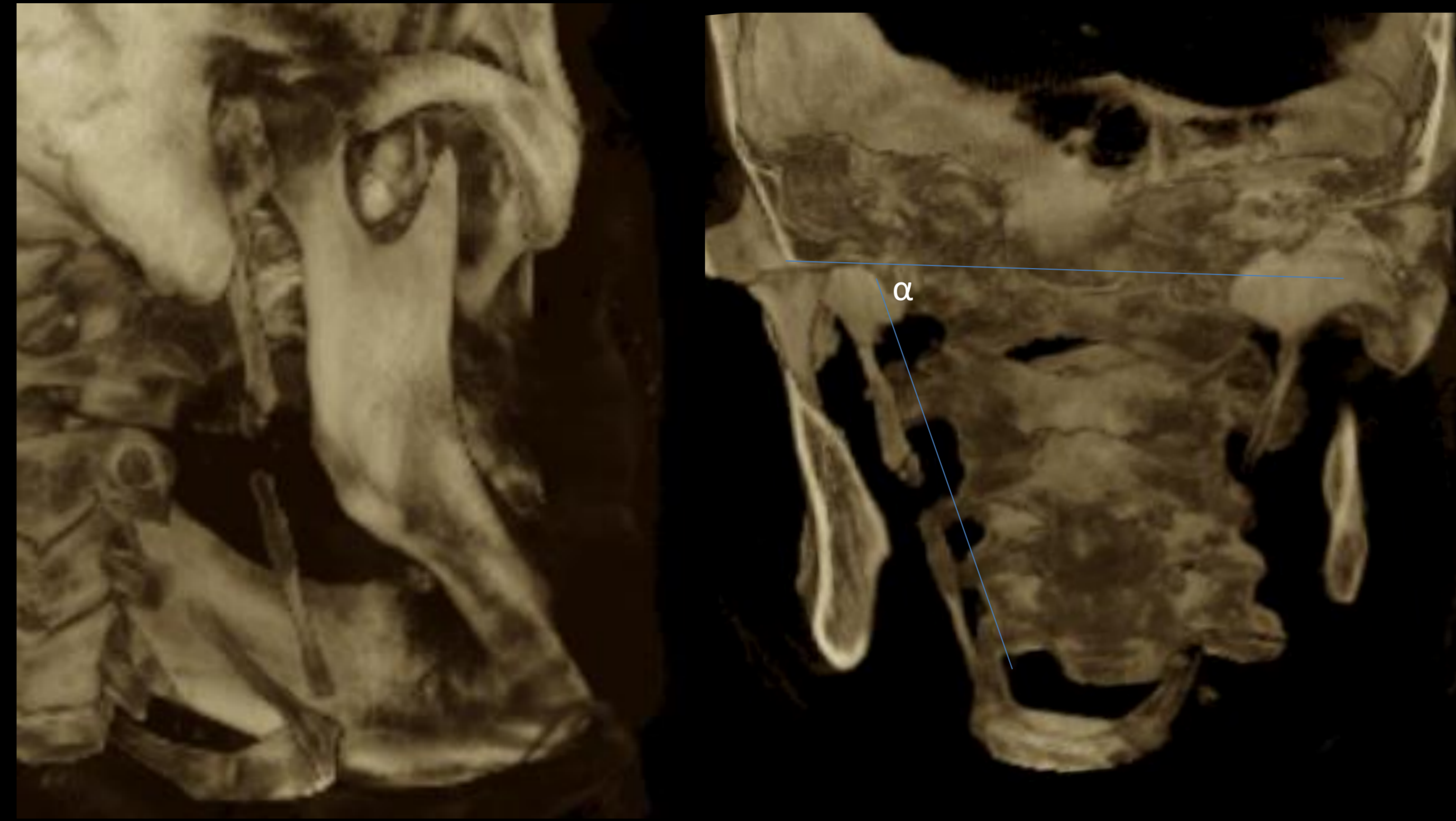


Fig. 2. Renderizado 3D de la TVHC, muestra el esquema de medición de la angulación transversal.

## RESULTADOS

Las medidas cuantitativas obtenidas fueron: mineralización (mayor a 30 mm) en el 83.8%, grosor de 2.38mm para el lado derecho y 2.36 mm para el lado izquierdo (DS: 1.07mm:1mm), ángulo sagital de 69.4° para el lado derecho y 68.8° para el lado izquierdo (DS: 11.9°:13.30°); ángulo transversal de 66.3° para el lado derecho y 67.3° para el lado izquierdo (DS: 6.2°:7.9°) (figura 3). Con respecto a la evaluación cualitativa resalta que la mineralización aumenta con la edad, siendo el tipo segmentado y el patrón de contorno los de mayor prevalencia. (tablas 1, 2, 3 y 4)

Tabla 1. Tipo de mineralización

Tipo		Lado				Total	
		Derecho		Izquierdo		n	%
		n	%	n	%		
Ninguno	36	18.0%	32	16.0%	68	17.0%	
Elongado	41	20.5%	41	20.5%	82	20.5%	
Segmentado	107	53.5%	115	57.5%	222	55.5%	
Pseudoarticulado	16	8.0%	12	6.0%	28	7.0%	
<b>Total</b>	<b>200</b>	<b>100.0%</b>	<b>200</b>	<b>100.0%</b>	<b>400</b>	<b>100.0%</b>	

Tabla 2. Patrón de mineralización

Patrón		Lado				Total	
		Derecho		Izquierdo		n	%
		n	%	n	%		
Ninguno	35	17.5%	33	16.5%	68	17.0%	
Completa	52	26.0%	62	31.0%	114	28.5%	
Parcial	33	16.5%	35	17.5%	68	17.0%	
Contorno	65	32.5%	61	30.5%	126	31.5%	
Nodular	15	7.5%	9	4.5%	24	6.0%	
<b>Total</b>	<b>200</b>	<b>100.0%</b>	<b>200</b>	<b>100.0%</b>	<b>400</b>	<b>100.0%</b>	

Tabla 3. Mineralización, tipo y patrón según edad

		Edad en categorías						p-valor
		Hasta 40 años		Más de 40 años		Total		
		N	%	N	%	N	%	
Mineralización	Si	216	64.5%	119	35.5%	335	100.0%	0.145
	No	48	73.8%	17	26.2%	65	100.0%	
Tipo	Ninguno	47	69.1%	21	30.9%	68	100.0%	0.003
	Elongado	42	51.2%	40	48.8%	82	100.0%	
	Segmentado	160	72.1%	62	27.9%	222	100.0%	
	Pseudoarticulado	15	53.6%	13	46.4%	28	100.0%	
Patrón	Ninguno	47	69.1%	21	30.9%	68	100.0%	0.051
	Completa	81	71.1%	33	28.9%	114	100.0%	
	Parcial	50	73.5%	18	26.5%	68	100.0%	
	Contorno	70	55.6%	56	44.4%	126	100.0%	
	Nodular	16	66.7%	8	33.3%	24	100.0%	

Tabla 4. Mineralización, tipo y patrón según sexo

		Sexo				Total		p-valor
		Masculino		Femenino		N	%	
		N	%	N	%			
Mineralización	Si	167	49.9%	168	50.1%	335	100.0%	0.093
	No	25	38.5%	40	61.5%	65	100.0%	
Tipo	Ninguno	28	41.2%	40	58.8%	68	100.0%	<0.001
	Elongado	56	68.3%	26	31.7%	82	100.0%	
	Segmentado	100	45.0%	122	55.0%	222	100.0%	
	Pseudoarticulado	8	28.6%	20	71.4%	28	100.0%	
Patrón	Ninguno	28	41.2%	40	58.8%	68	100.0%	<0.001
	Completa	41	36.0%	73	64.0%	114	100.0%	
	Parcial	29	42.6%	39	57.4%	68	100.0%	
	Contorno	83	65.9%	43	34.1%	126	100.0%	
	Nodular	11	45.8%	13	54.2%	24	100.0%	

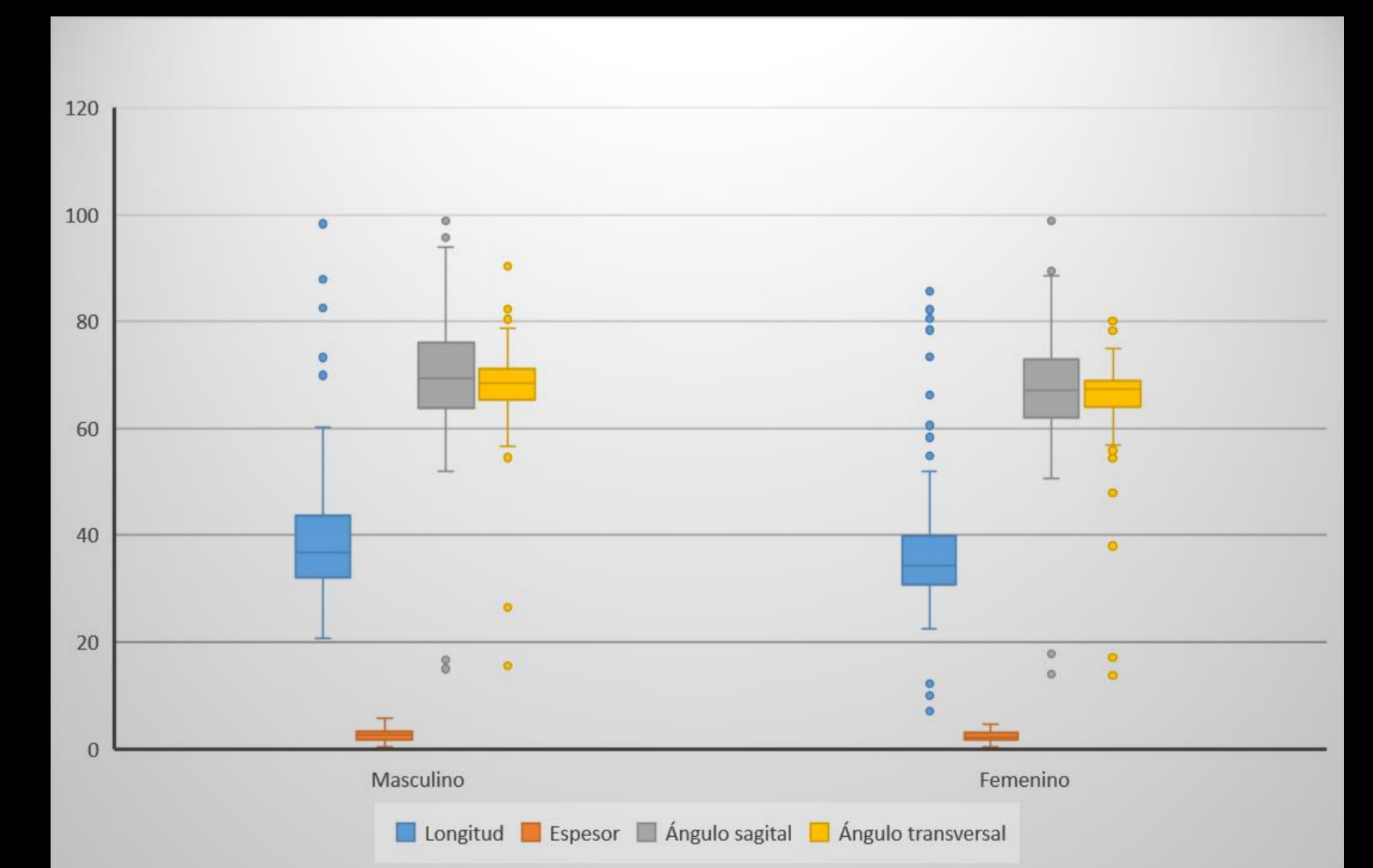


Fig. 3. Parámetros cuantitativos según sexo

## CONCLUSIÓN/DISCUSIÓN

El estudio muestra una alta prevalencia de la mineralización de la CE, el cual se acentúa con la edad y con una mayor predilección al sexo masculino, de las cuales el tipo segmentado y el patrón de contorno son los más comunes. Es importante relacionar estos hallazgos para considerarlos como factores de riesgo del síndrome de Eagle.